

PROSTATIN KARSİNOMLARI VE PREKANSERÖZ LEZYONLARINDA AgNOR YÖNTEMİ

Uzm. Dr. Y. GÜRBÜZ(*), Yard. Doç. Dr. I. KILIÇASLAN(*), Uzm. Dr. Ö. DOĞAN(*), Prof. Dr. V. UYSAL(*)

ÖZET: Çalışmamızda 33 prostat karsinomu, 35 prostatik intraepitelial neoplazi (PIN), 5 atipik adenomatöz hiperplazi (AAH) ve 10 benign prostat hiperplazisi vakasında Ag-NOR benekciklerinin sayı ve morfolojik özelliklerini araştırılmış, bu grupların farklı olduğunu gösteren istatistiksel değerler elde edilmiştir. Ancak düşük gradlı karsinom, PIN 2-3 ve AAH arasında farklılıklar saptanamamıştır. Tümör differansiyasyonu azaldıkça Ag-NOR sayısının artması, differansiyasyon ile Ag-NOR sayısı arasında bağlantı olduğunu göstermiştir ($p>0.01$). İyi ve orta derecede differansiyonlu tümörler arasında saptanın fark Ag-NOR sayısının diğer parametrelerle birlikte bu iki grubun ayırcı tanısında kullanılabilceğini göstermektedir ($P=0.000095$). PIN 1 ve PIN 2-3'ün Ag-NOR sayıları arasındaki fark bu lezyonların farklı iki grup olduğu sonucunu verdi ($P=0.001$). PIN 2-3 ile düşük gradlı tümörlerde belli bir fark saptanamaması Ag-NOR yönteminin bu iki lezyonun ayırcı tanısında kullanılamayacağını göstermektedir ($P=0.3$). Ag-NOR benekciklerinin disosiasyonu ve asosiasyon yapan gruppardaki benekcik sayısı differansiyasyonun azaldıkça artmaktadır. PIN 2-3 ve iyi differansiyonlu karsinomlardaki Ag-NOR benekciklerinin morfolojik özellikleri ayırcı tanıda kullanılmayacak şekilde benzerlik göstermektedir.

SUMMARY: In this study, AgNOR staining technique was used for AgNOR proteins in 33 prostate carcinoma, 35 prostatic intraepithelial neoplasia (PIN), 5 atypical adenomatous hyperplasia (AAH) and 10 benign prostate hyperplasia. Some significant statistical differences in mean AgNOR counts between these groups were noted. But between PIN 2-3, AAH, and low grade carcinoma groups significant difference was not noted. Increasing AgNOR count with decreasing tumor differentiation showed that there was correlation between AgNOR count and tumor differentiation ($P<0.01$). Statistical difference between well and moderately differentiated tumors ($P=0.000095$) was demonstrated. AgNOR count may be a supplement to other parameters in differential diagnosis of these two groups. We didn't find statistical difference between PIN 2-3 and low grade prostatic carcinoma ($P=0.3$) and we think that AgNOR technique is not effective in differential diagnosis of these two groups. AgNOR dot dissociation and number of dots in associated groups increased by decreasing tumor differentiation. We included that AgNOR staining pattern of PIN 2-3 and well differentiated carcinoma is so similar that it can't be used in differential diagnosis of these two groups.

GİRİŞ

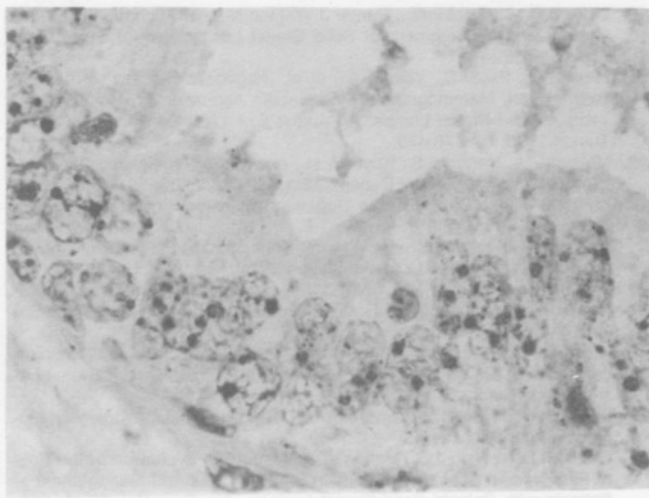
Prostat karsinomlarının histopatolojik özellikleri ve прогноз arasındaki ilişkiyi araştıran pek çok çalışma yapılmış ve bu bağlantıyı gösterdiği öne sürülen çok sayıda sınıflandırma önerilmiştir. Bu sınıflandırmaların en güncel olan ikisi Gleason (8) ve WHO (15)'dur.

Prostatin prekanseröz lezyonları prostatik intraepitelial neoplazi (PIN) (2) ve kimi araştırmacılara göre prekanseröz olduğu kuşkulu bulunan ve küçük asiner karsinomla ayırcı

tanısında sorun yaratan atipik adenomatöz hiperplazidir (AAH) (3). PIN'in özellikle yüksek gradlı olanları tümörlerde prostatlarda çok sık olarak izlenmektedir (3). Prostat karsinomu ve PIN arasında immunfenotipik ve sitolojik özellikler konusunda pek çok benzerlik vardır (8,17).

AgNOR (argirofil nukleoler organizer region) bir hücre kinetiği yöntemi olup hücrenin proliferatif aktivitesi ve sentez yeteneğini gösterir. Bu nedenle prostat karsinomları ve prekanseröz lezyonlarının tanı ve differansiyasyonunun belirlenmesinde kullanılmaktadır (7,9,10,18).

Bu çalışmada prostat karsinomlarının differansiyasyonu



Resim 1. Ağır displazi vakasında genellikle asosiasyon oluşturan sayıca az AgNOR benekcikleri (Prot No: 20447/93 AgNOR X 1250).

ve PIN'lerin gradlarına göre AgNOR sayısı arasındaki ilişki araştırıldı. Ayrıca her iki grubun AgNOR sayısı ve morfolojik yapısı karşılıklı olarak değerlendirildi.

GEREÇ VE YÖNTEM

İ.Ü. İstanbul Tıp Faküllesi Patoloji Ana Bilim Dalı'nda 1983-1994 yılları arasında incelenmiş vakalardan 33 prostat karsinomu, 35 prostatik intraepitelial neoplazi, 5 atipik adenomatöz hiperplazi, 10 tümör ve PIN çevresinde bulunan benign prostat hiperplazisi alanı çalışma kapsamına alındı.

Materyal 22 radikal prostatektomi, 18 açık prostatektomi, 11 transüretral rezeksiyondan oluşmaktadır. Rutin takipten sonra elde edilen parafin bloklardan 3 mikronluk 2 kesit hazırlandı. Kesitlerden biri hematoksilen eozin, diğerleri AgNOR yöntemiyle (19) boyandı.

Tümörler Gleason sınıflamasına göre değerlendirilerek 5 patern ve 2'den 10'a kadar 8 pattern skor belirlendi (8). Daha sonra Gleason sınıflaması WHO'ya uyarlanarak patern skor 2,3,4,5 iyi, 6,7,8 orta, 9,10 az diferansiyel kabul edildi.

PIN Mc Neal'in 1986'da yaptığı tanımlama ve sınıflama-

nin Brawer tarafından 1992'deki modifiye edilen şecline göre değerlendirildi ve PIN 1-2-3 olmak üzere ayrıldı (2). AAH'ler Brawn'ın 1992 yılında yaptığı çalışmaya göre incelendi (3). AgNOR benekciklerinin sayılmış sedir yağı damlatılarak 1000'lük büyütmede rastgele 100 hücre nüvensinde Crocker (5) ve Howat (11) yöntemine göre yapıldı. Crocker yöntemine göre izlenen her benekcik sayılı, Howat yönteminde ise asosiasyon yapan gruplar tek AgNOR olarak değerlendirildi.

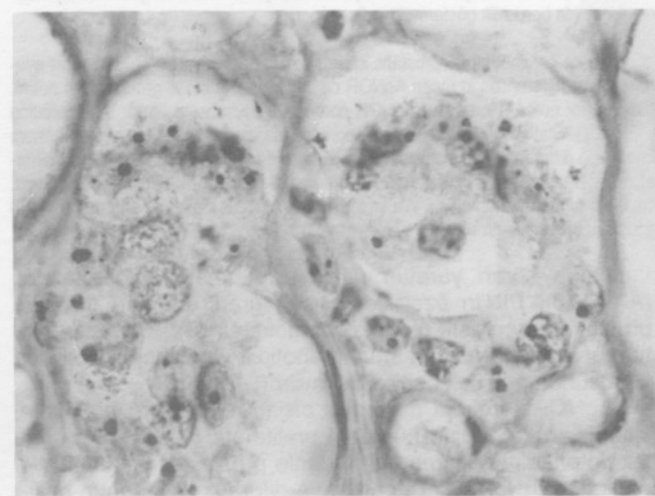
Regresyon testi ile prostat karsinomlarının patern skorları ve PIN gradları ile Crocker ve Howat'a göre AgNOR sayıları arasındaki ilişki belirlenmeye çalışıldı. Ayrıca student t testi ile de hiperplazi, PIN ve karsinom gruplarının AgNOR benekcik sayıları arasındaki farklılıklar ayrı ayrı saptandı. Aynı yöntemle PIN ve karsinom gradları, gruplar kendi arasında bölünderek PIN 2-3 ile iyi diferansiyel karsinom grupları, AAH ile iye diferansiyel karsinom grupları arasındaki farklılıklar da belirlendi.

BULGULAR

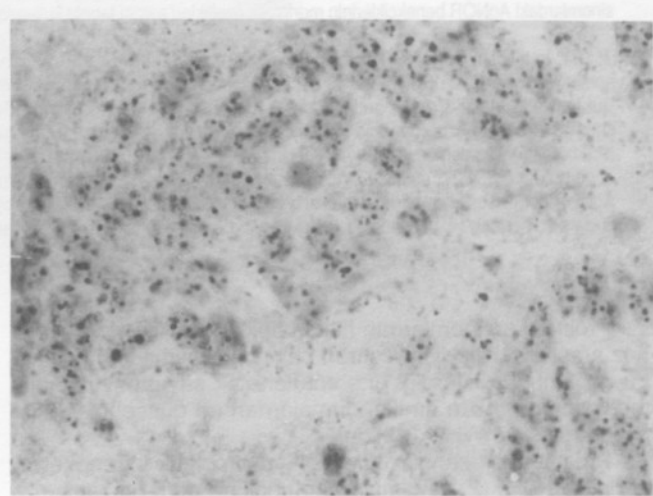
Çalışma kapsamına aldığımiz tümör, PIN, AAH ve BPH vakalarının Crocker ve Howat yöntemine göre AgNOR sayı ortalamaları en düşük ve en yüksek değerleri belirlendi (Tablo 1).

AgNOR sayıları tümör vakalarında 4.2 ile 13.16 arasında değişti. AgNOR sayısı patern skoru oluşturan her patern göz önünde tutulduğunda patern skor 6, 7, 8 ve 10'da fazla bulundu, en çok patern skor 9'da pattern skor 3, 4, 5'değerlerle aynı oranda görüldü. Düşük patern skorlu tümörlerde AgNOR benekciklerinin üçlü dörtlü asosiasyonlar yaptığı (Resim 1) yüksek patern skorlu tümörlerde ise genelde disosiasyon olduğu (Resim 2) asosiasyon yapan gruplarda ise 15'e varan sayıda AgNOR benekciği bulunduğu belirlendi. Tüm tümör vakaları incelendiğinde patern skor ile Crocker ve Howat'a göre AgNOR sayıları arasında regresyon testi uygulandığında zayıf bir bağlantı bulundu (Crocker'e göre $r: 0.48, p<0.01$, Howat'a göre $r: 0.38 P<0.005$).

Tümörler disosiasyon derecesine göre student' t testiyle birbirile karşılaştırıldığında iyi ve orta derecede diferansiyel tümörler arasında Crocker'e göre $P: 0.00005$ Howat'a göre $P: 0.00213$ bulundu. İyi ve az diferansiyel tümörlerde yalnız Crocker yöntemine göre hafif bağlantı bulundu ($P: 0.0144$).



Resim 2. İyi diferansiyel adenokarsinom vakasında az sayıda asosiyel AgNOR benekcikleri (Prot No: 11202/93 AgNOR X 1250).



Resim 3. Az diferansiyel adenokarsinom vakasında çok sayıda asosiyel AgNOR benekcikleri (Prot No: 13132/84 AgNOR X 1250).

Orta ve az diferansiyel tümörlerde ise anlamlı bir fark elde edilemedi.

PIN vakalarında tüm gradlarda AgNOR boyanması asosiasyon yapan 2'li 3'lü gruplar şeklinde izlendi. AgNOR benekcikleri PIN vakalarında Crocker'a göre en az 4,24, en fazla 11,34, Howat'a göre en az 2,68 en fazla 6,92 bulundu. Her iki sayımla yöntemiyle de ağır PIN vakalarında (PIN 2-3) AgNOR sayısı PIN 1'e göre fazla izlendi. PIN gradı ile AgNOR sayısı arasındaki bağlantıyı araştırmak için yapılan regresyon testinde her iki yöntemle hafif bir ilişki saptandı (Crocker'a göre r: 0,32, P<0,005, Howat'a göre r: 0,442 P<0,01). Hafif ve ağır PIN'ler arasındaki fark anlamlı idi (P<0,01).

PIN ve tümör gruplarının AgNOR sayımlarındaki farklılıklar istatistik olarak anlamlı idi (Crocker'a göre P:0,000006, Howat'a göre P:0,0057). Aynı yöntemle PIN 2-3 ile iyi diferansiyel karsinomlar karşılaştırıldığında ise anlamlı sonuç elde edilemedi (Crocker'a göre P: 0,3, Howat'a göre P: 0,2).

5 vakalık AAH serimizde AgNOR sayısı az olup genelde iki üçlü asosiasyonlar izlendi. Bu grubun iyi diferansiyel tümörlerle karşılaşırmasında anlamlı fark bulunamadı (Crocker'a göre P:0,4, Howat'a göre P: 0,2).

Bulduğumuz değerleri kontrol amacıyla aldığımız prostat hiperplazisi grubunda ise AgNOR sayısı hem PIN hem de tümörlerden daha az sayıda idi ve asosiasyonlar göstermektedir.

TARTIŞMA

Prostat karsinomlarının histopatolojik özellikleri ve prognоз arasındaki bağlantıyı araştırmaya yönelik ve değişik sınıflamalara dayanan pek çok çalışma vardır (8,15). Bu çalışmaların uygulanabilirliği ve прогнозla bağlantısı ideal olmamakla birlikte günümüzde yaygın olarak kullanılan WHO ve Gleason sınıflamalarıdır. AgNOR yöntemi hücre kinetiği yöntemleri içinde ucuz ve pratik olduğundan, retrospektif incelemelere olanak sağladığından, diğer yöntemlere göre daha yaygın olarak uygulama alanı bulmaktadır.

Çalışma kapsamına alınan 33 tümör vakamızda tümörlerin diferansiasyonu düşütükçe AgNOR sayısının ve disosiasyonun artışı gözlandı (P<0,01). Bu konuda yapılan çalışmaların çoğunda benzer sonuçlar elde edilmiştir (1,7,9,10,18).

Gleason sınıflamasının WHO'ya uyarladığımızda iyi ve orta derecede diferansiyel tümörler arasında AgNOR sayısı açısından anlamlı bir fark elde edildi (Crocker'a göre P: 0,000095). Ancak iki grup arasında belirgin差别 izlendiğinden ayırcı tanıda tek kriter olarak kullanılmayacağı düşünüldü. İyi ve orta derecede diferansiyel tümörler arasında zayıf bir fark mevcuttu (Crocker'a göre P: 0,0144). Orta ve az diferansiyel tümörler arasında fark anlamlı bulunmadı. Bunun nedenini ise patern skoru 9 olan düşük AgNOR sayısına sahip iki vaka ile açıklamaktayız. Contractor (4) ve Lloyd (12)'da yaptıkları çalışmalarla elde ettiğimiz sonuçlara benzer şekilde az diferansiyel tümörlerde AgNOR sayısının beklenen oranda artmadığını saptamışlardır.

Çalışmamızda aynı histopatolojik yapıya sahip tümörlerde farklı AgNOR sayıları olduğunu gördük (Örneğin patern skor 8'de AgNOR sayıları 8,31 ile 13,7 arasında değişmektedir). Pavlakis'te yaptığı bir çalışmada aynı sonuçları bulmuş ve bu farklılığın прогнозla bağlantılı olabileceği öne sürülmüştür. Bir başka çalışmada da prostat karsinomları прогнозlarına göre iyi ve kötü olarak ikiye ayrılmış ve bu iki grup arasında istatistiksel açıdan belirgin AgNOR sayısı far-

kı saptanmıştır. Bu bulgulara dayanarak AgNOR yönteminin hücrenin proliferatif aktivitesilarındaki değişikliği ışık mikroskopik değişiklikler olmadan ortaya koyduğu ileri sürülmüştür.

Çalışma kapsamına aldığımız tümör PIN ve hiperplazi gruplarının AgNOR sayıları arasında差别 olmasına karşılık istatistiksel olarak nlamlı farklılıklar görülmekteydi (Crocker'a göre PIN ve tümör için P:0,00006, PIN ve hiperplazi için P:0,0003, tümör ve hiperplazi için P:0,00008). Bu nedenle her üç grubun birbirinden ayrı olduğu kanısına varıldı. Bu veri bu konuda daha önce yapılan çalışmalarla da desteklenmektedir (6,13).

Ancak PIN 1 ve PIN 2-3 birbiri ile kıyaslandığında AgNOR sayısının anlamlı fark gösterdiği saptandı. PIN 2-3 ile iyi diferansiyel adenokarsinom arasında ise istatistiksel olarak anlamlı bir fark bulunmadığı için ayırmada kullanılmayaçığı sonucuna varıldı. Ayrıca Hansen'in (19) yaptığı bir çalışmada yalnız sayısal değil morfolojik olarak da tipik bir aternin olmadığı vurgulanmıştır. Az sayıda AAH vakamız genel olarak iyi diferansiyel adenokarsinom ile kıyaslandığında istatistiksel olarak anlamlı sonuçlar elde edilmedi.

AgNOR ile ilgili çalışmalarla boyama ve sayma özellikleri açısından sorunlar bildirilmiştir. Örneğin her bloğun hatta aynı bloktan hazırlanan değişik kesitlerin standart zamanda AgNOR boyası olmadığı belirtilmiştir. Çalışmamızda boyama işleminde aynı sorunla karşılaşıldır ve her vakadan boyama zamanının tek tek mikroskop altında belirlenmesi gerekti. Gümüş artefaktı tiyosülfat uygulamasına karşın sorun yaratır, fakat AgNOR benekciklerinden küçük ve açık renk olduğu için sayımla işlememi etkilemedi. Lloyd bazı vakalarda sayıdı nukleusun tümör hücresinde ait olup olmadığından kuşku duyduğunu bildirmiştir (12). Biz de özellikle yaygın infiltrasyon yapan yüksek gradlı vakalarda sayıdığımız nüvenin tümöre mi yoksa prostat stromasına mı ait olduğu konusunda kuşkuya düştük. Elde ettiğimiz verilere göre AgNOR yönteminin iyi ve orta derecede diferansiyel tümörlerin ayırmada diğer kriterlerle birlikte kullanılabilceği, tümör, PIN ve hiperplazi gruplarında AgNOR değerlerinin farklı olduğu ve diğer parametrelerle birlikte tanıda fikir verebileceği, PIN'in hiperplaziden çok tümöre yakın bir grup olduğu sonucuna varıldı. Klinik olarak da davranışları farklı iki lezyon olan PIN 1 ve PIN 2-3'ün elde ettiğimiz AgNOR sayılarında bu iki lezyonun farklı iki grup olduğu sonucuna varıldı. İstatistiksel veriler gözönüne alındığında sayımla yöntemi olarak Crocker'in Howat'a üstün olduğu kanısına varıldı.

KAYNAKLAR

1. Alivizatos G, Pavlaki K, Giannopoulos A, et al. Nucleolar organizer regions in prostatic carcinomas. Comparison with flow cytometric analysis, tumor grade, stage and serum prostat spesific antigen level. Eur Urol 1992; 21: 141-145.
2. Brawer MK. Prostatic intraepithelial neoplasia. Hum Pathol 1992; 23: 242-248.
3. Brawn PN. Adenosis of the prostate. A dysplastic lesion that can be confused with prostate adenocarcinoma. Cancer 1982; 49: 826-833.
4. Contractor H, Ruschoff J, Hanisch T et al. Silver stained structures in prostatic carcinoma: Evaluation of diagnostic and prognostic relevance by automated image analysis. Urol Int. 1991; 46: 9-14.
5. Crocker J, Boldy DAR, Egan M S. How should we count AgNORs? Proposals for a standardized approach. J Pathol 1989; 158: 185-188.
6. Deschenes J, Weider N. Nucleolar organizer regions (NOR) in hyperplastic and neoplastic prostate disease. A J Srg Pathol 1990; 14: 1148-1155.
7. Graziedeh M, Sasaki Y, Oyune T et al. Silver staining of nucleolar organizer regions in prostatic lesions. Histopathology 1991; 19: 369-372.
8. Gleason DF. Histologic grading of prostate cancer. Hum Pathol 1992;

- 23: 273-279.
9. Hansen AB, Ostergard B. Nucleolar organiser regions in hyperplastic and neoplastic prostatic tissue. *Virchows Arch Pathol Anat Histopathol* 1990; 417: 9-13.
 10. Helpap B, Riede C. AgNOR analyses of prostate carcinomas of high and low malignancy. *Ver Dtsch Bes Pathol* 1993; 77: 93-97.
 11. Howat A J, Giri DP, Cottan DWK et al. Nucleolar organizer regions in spitz nevi and malignant melanoma. *Cancer* 1989; 63: 474-478.
 12. Lloyd SK, Jhonson CR, Brown IT. Nucleolar organizer regions in benign and malign prostatic disease. *Histopathol* 1991; 18: 449-462.
 13. Mamaveo S, Lundgen R, Elfving P et al. AgNOR staining in benign hyperplasia and carcinoma of the prostate. *Prostate* 1991; 18: 155-162.
 14. McNeal JE, Bostwick DG. Intraductal dysplasia. A premalignant lesion of the prostate. *Hum Pathol* 1989; 17: 64-71.
 15. Mostofi F K, Sesterhen I, Sabin LH. Histologic typing of prostate tumors. In *International Histological Classification of Tumors*. No 22. World Health Organization, Geneva 1980.
 16. Mostofi F K, Sesterhen I A, Devis C J. Prostatic carcinoma: Problems in the interpretation of prostatic biopsies. *Hum Pathol* 1992; 23: 223-241.
 17. Nagle RB, Brawer MK, Kittersend et al. Ppenotipic relationships of prostatic intraepithelial neoplasia to invasiv prostatic carcinoma. *Am J Pathol* 1991; 138: 119-128.
 18. Pavlakis R, Alivizators G, Mitropeulos D, et al. Silver binding nucleolar organizer regions in benign and malignant prostatic lesions *Urol Int* 1992; 49: 137-140.
 19. Ploton D, Manager M, Jeanneson P et al: Improvement in staining and in the visualization of argyrophilic proteins of the nucleolar organizer region at optical level. *Histochemical Journal* 1986; 18: 5-14.
 20. Schned R A. Nucleolar organizer regions diagnosis of discriminators for the diagnosis of well differentiated adenocarcinoma of the prostate. *Arch Pathol Lab Med* 1993; 117: 1000-1004.